



Министерство науки и высшего образования Российской Федерации  
Федеральное государственное бюджетное образовательное учреждение  
высшего образования  
«Московский государственный технический университет  
имени Н.Э. Баумана  
(национальный исследовательский университет)»  
(МГТУ им. Н.Э. Баумана)

---

ФАКУЛЬТЕТ «Информатика и системы управления»

КАФЕДРА «Программное обеспечение ЭВМ и информационные технологии»

### **Лабораторная работа № 3**

Дисциплина: Моделирование

Тема: Программно- алгоритмическая реализация моделей на основе ОДУ второго порядка с краевыми условиями II и III рода.

Студент Мирзоян С. А.

Группа ИУ7-65Б

Оценка (баллы) \_\_\_\_\_

Преподаватель Градов В.М.

**Цель работы:** Получение навыков разработки алгоритмов решения краевой задачи при реализации моделей, построенных на ОДУ второго порядка.

Исходные данные.

1. Уравнение для функции  $T(x)$ :

$$\frac{d}{dx} \left( k(x) \frac{dT}{dx} \right) - \frac{2}{R} \alpha(x) T + 2T_0 \alpha(x) = 0$$

$$2. \text{ Краевые условия: } \begin{cases} x = 0, -k(0) \frac{dT}{dx} = F_0, \\ x = l, -k(l) \frac{dT}{dx} = \alpha_N (T(l) - T_0) \end{cases}$$

3. Функции  $\alpha(x), k(x)$  заданы своими константами.

$$\alpha(x) = \frac{c}{x - a}$$

$$k(x) = \frac{b}{x - b}$$

**Физическое смысл задачи.**

Сформулированная математическая модель описывает температурное поле  $T(x)$  вдоль цилиндрического стержня радиуса  $R$  и длиной  $l$ , причем  $R \ll l$  и температуру можно принять постоянной по радиусу цилиндра. Ось  $x$  направлена вдоль оси цилиндра и начало координат совпадает с левым торцом стержня. Слева при  $x=0$  цилиндр нагружается тепловым потоком  $F_0$ . Стержень обдувается воздухом, температура которого равна  $T_0$ . В результате происходит съем тепла с цилиндрической поверхности и поверхности правого торца при  $x=l$ . Функции  $k(x), \alpha(x)$  являются, соответственно, коэффициентами теплопроводности материала стержня и теплоотдачи при обдуве.

## Листинг.

```
1. import matplotlib.pyplot as plt
2. import numpy as np
3.
4. def plot_maker(masx, masy, xlabel, ylabel):
5.     plt.plot(masx, masy, color = 'r')
6.     plt.xlabel(xlabel)
7.     plt.ylabel(ylabel)
8.     # plt.legend((name1, name2))
9.     plt.grid(True)
10.    plt.show()
11.
12.    def k(x):
13.        return a/(x - b)
14.    def alpha(x):
15.        return 3*x/(x - d)
16.    def P(Ax):
17.        return 2 * Ax / R
18.    def F(Ax):
19.        return (2 * T0 * Ax)/R
20.
21.    def Xn_formula(x, h, flag):
22.        if flag == "+":
23.            res = 2 * k(x) * k(x + h) / (k(x) + k(x + h))
24.        if flag == "-":
25.            res = 2 * k(x) * k(x - h) / (k(x) + k(x - h))
26.        return res
27.
28.    def An(x, h):
29.        res = 2 * k(x) * k(x - h) / (k(x) + k(x - h))
30.        return res/h
31.    def Bn(x, h, Ai, Ci):
32.        return Ai + Ci + P(x) * h
33.    def Cn(x, h):
34.        res = 2 * k(x) * k(x + h) / (k(x) + k(x + h))
35.        return res/h
36.    def Dn(x, h):
37.        return F(x) * h
38.
39.
```

```

40.
41.     def get_K0(x0, h):
42.         pn_1_div_2 = (P(x0) + P(x0 + h)) / 2
43.         return Xn_formula(x0, h, "+") + h**2 * pn_1_div_2 / 8 + h**2 * P(x0) / 4
44.
45.     def get_M0(x0, h):
46.         pn_1_div_2 = (P(x0) + P(x0 + h)) / 2
47.         return -Xn_formula(x0, h, '+') + h**2 * pn_1_div_2 / 8
48.
49.     def get_P0(x0, h):
50.         fn_1_div_2 = (F(x0) + F(x0 + h)) / 2
51.         return h * F0 + h**2 * (fn_1_div_2 + F(x0)) / 4
52.
53.     def get_KN(x, h):
54.         res = 2 * k(x) * k(x - h) / (k(x) + k(x - h))
55.         return -P(x)*h/4 - (P(x-h) + P(x))*h/16 - alpha(x) - res/h
56.     def get_MN(x, h):
57.         res = 2 * k(x) * k(x - h) / (k(x) + k(x - h))
58.         return res/h - (P(x-h) + P(x))*h/16
59.     def get_PN(xn, h):
60.         return -alpha(xn) * T0 - h * (3*F(xn) + F(xn - h)) / 8
61.
62.
63.     def progon(A, B, C, D, K0, M0, P0, KN, MN, PN):
64.         xi = [0]
65.         eta = [0]
66.         xi.append(-M0/K0)
67.         eta.append(P0/K0)
68.         for i in range(1, len(A)):
69.             xi.append((C[i]/(B[i] - A[i]*xi[-1])))
70.             eta.append((D[i] + A[i] * eta[-1])/(B[i] - A[i]*xi[-2]))
71.         y = [(PN - MN*eta[-1]) / (KN + MN * xi[-1])]
72.         for i in range(len(A) - 2, -1, -1):
73.             y.append(xi[i] * y[-1] + eta[i])
74.         y.reverse()
75.         return y
76.
77.
78.     k0 = 0.4
79.     kN = 0.1

```

```

80.     alpha0 = 0.05
81.     alphaN = 0.01
82.     l = 30
83.     T0 = 300
84.     R = 0.5
85.     F0 = 50
86.     h = 1e-3
87.     x0 = 0
88.
89.     ##k0 = float(input("k0: "))
90.     ##kN = float(input("kN: "))
91.     ##alpha0 = float(input("alpha0: "))
92.     ##alphaN = float(input("alphaN: "))
93.     ##l = float(input("l: "))
94.     ##T0 = float(input("T0: "))
95.     ##R = float(input("R: "))
96.     ##F0 = float(input("F0: "))
97.     ##x0 = float(input("x0: "))
98.     ##h = float(input("h: "))
99.
100.
101.     b = kN * l / (kN - k0)
102.     a = - k0 * b
103.     d = alphaN * l / (alphaN - alpha0)
104.     c = - alpha0 * d
105.
106.     A = []
107.     B = []
108.     C = []
109.     D = []
110.     xmas = []
111.
112.     for x in np.arange(x0, l + h, h):
113.         xmas.append(x)
114.         Ai, Ci, Di = An(x, h), Cn(x, h), Dn(x, h)
115.         Bi = Bn(x, h, Ai, Ci)
116.
117.         A.append(Ai)
118.         B.append(Bi)
119.         C.append(Ci)

```

```

120.         D.append(Di)
121.
122.     K0 = get_K0(x0, h)
123.     P0 = get_P0(x0, h)
124.     M0 = get_M0(x0, h)
125.
126.     KN = get_KN(l, h)
127.     PN = get_PN(l, h)
128.     MN = get_MN(l, h)
129.
130.     dots = progon(A, B, C, D, K0, M0, P0, KN, MN, PN)
131.     plot_maker(xmas[1:], dots[1:], 'Длина стержня, см', 'Температура, К')

```

## Результат работы программы.

Тестовые данные для тестирования:

$$k_0 = 0.4 \text{ Вт/см К},$$

$$k_N = 0.1 \text{ Вт/см К},$$

$$\alpha_0 = 0.05 \text{ Вт/см}^2 \text{ К},$$

$$\alpha_N = 0.01 \text{ Вт/см}^2 \text{ К},$$

$$l = 10 \text{ см},$$

$$T_0 = 300 \text{ К},$$

$$R = 0.5 \text{ см},$$

$$F_0 = 50 \text{ Вт/см}^2.$$

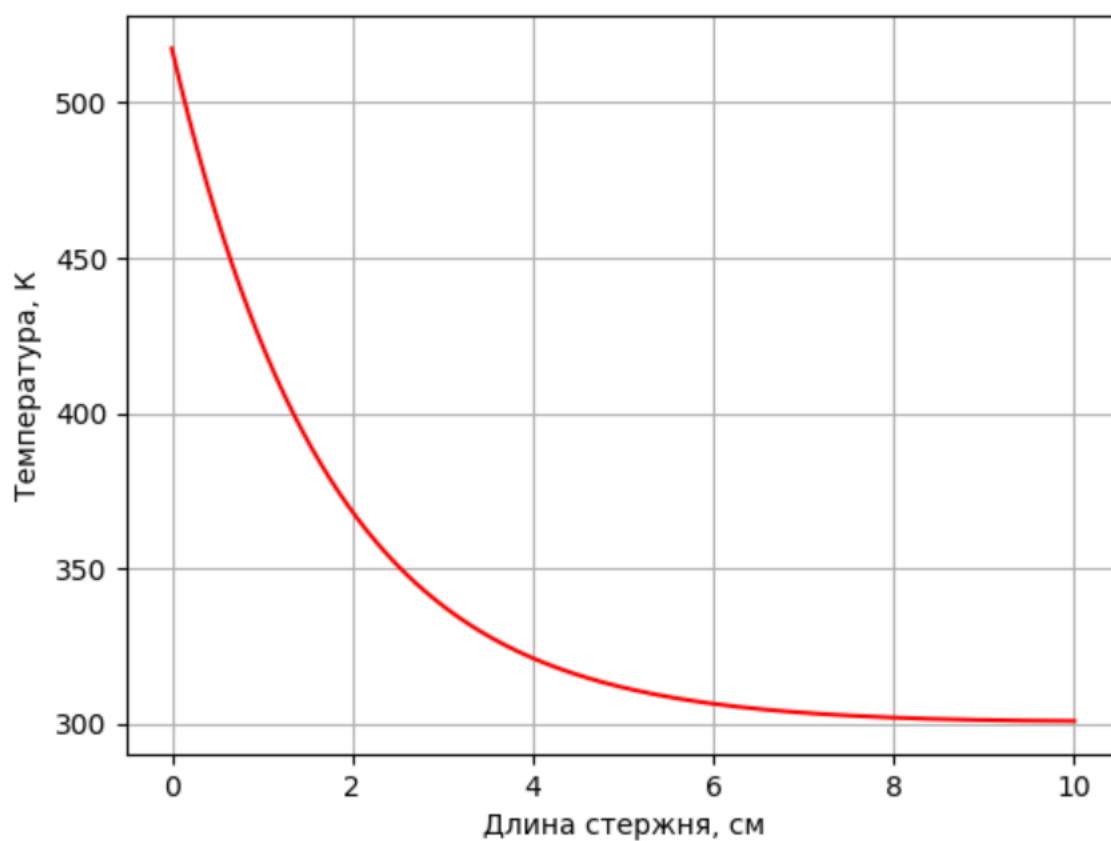


Рисунок 1. График зависимости температуры  $T(x)$  от координаты при заданных выше параметрах.

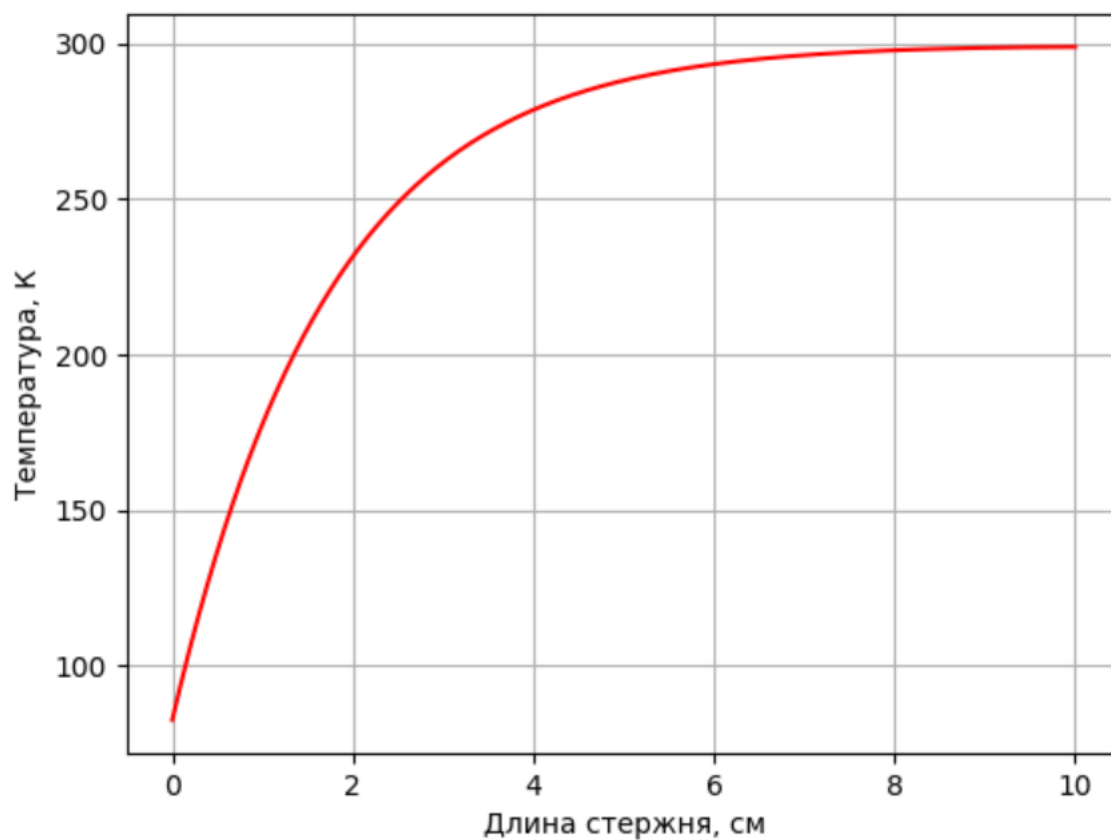


Рисунок 2. при  $F_0 = -50 \text{ Вт/см}^2$ .

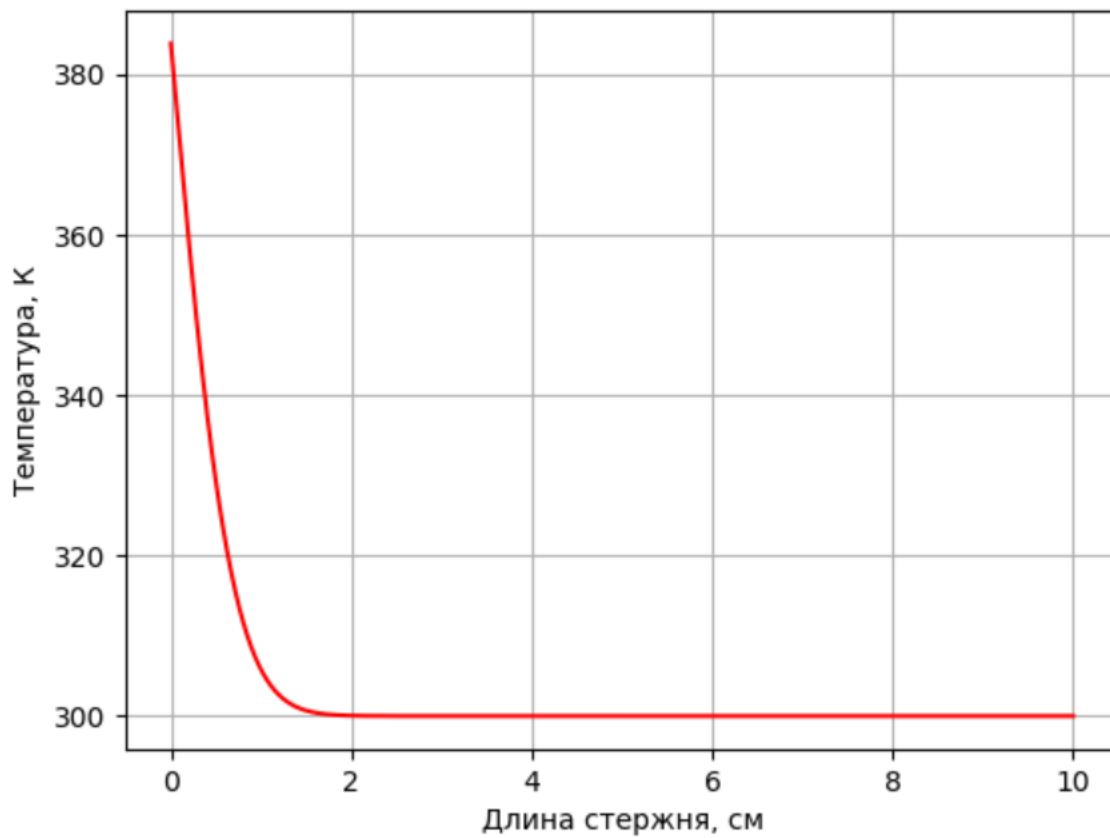


Рисунок 3. График зависимости  $T(x)$  при увеличенных значениях  $\alpha(x)$  в 3 раза.

При увеличении теплоотвода и неизменном потоке  $F_0$  уровень температур  $T(x)$  снижается, а градиент увеличивается (при сравнении рисунков 1 и 3).



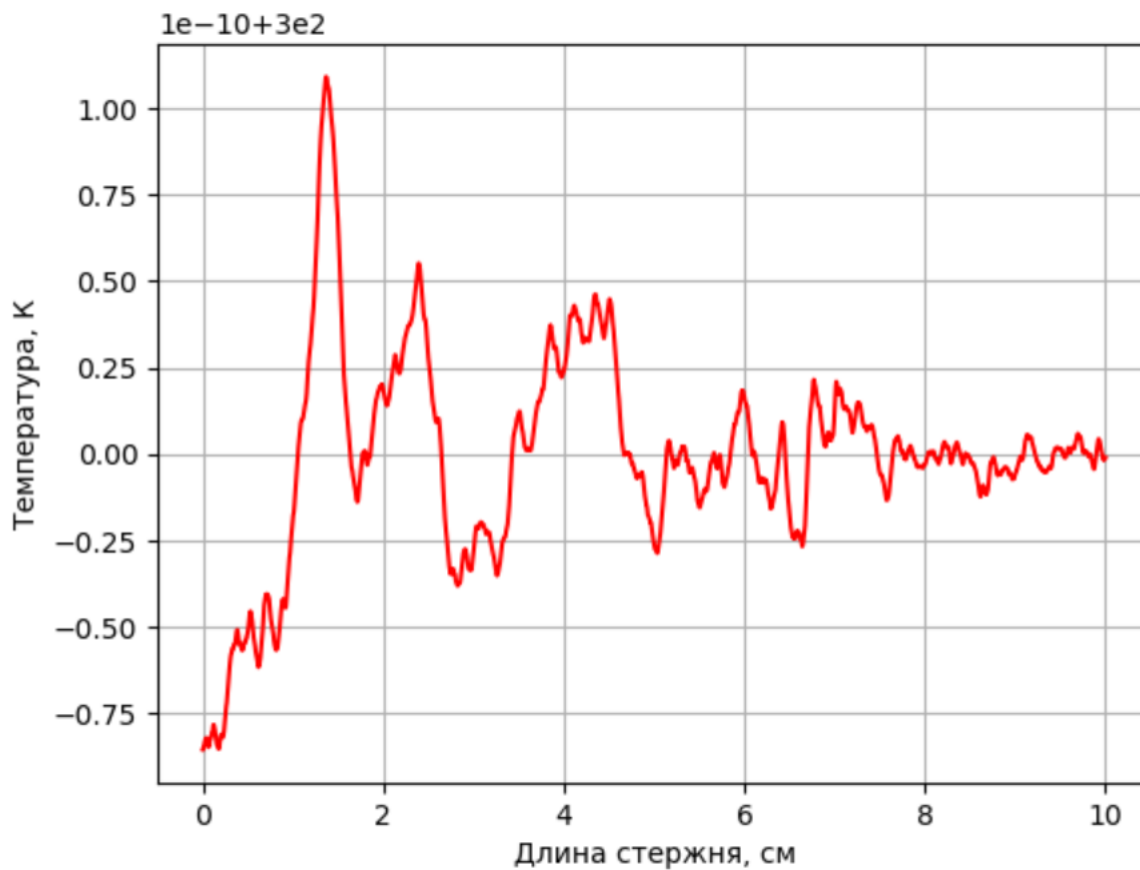


Рисунок 4. График зависимости  $T(x)$  при  $F_0 = 0$  Вт/см<sup>2</sup>.

На рисунке 4 можно наблюдать, что, в отсутствии теплового нагружения, температура стержня равна окружающей температуре, погрешность определяется приближенным характером вычислений.

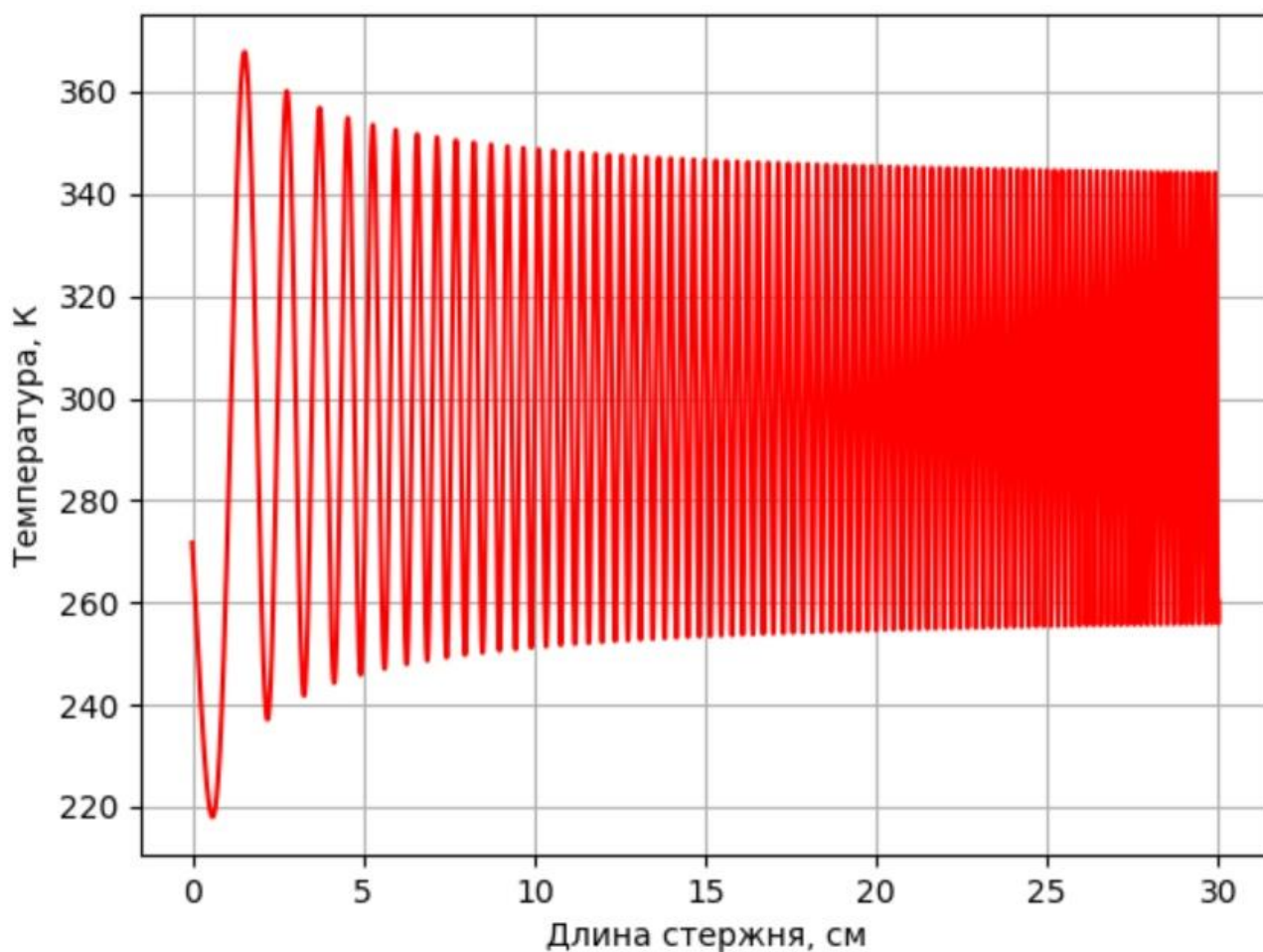


Рисунок 5. Гармонические колебания при  $R < 0$  см и  $l = 30$  см.

### Ответы на вопросы:

#### 1. Какие способы тестирования программы можно предложить?

- При  $F_0 = 0$   $T(x) = T_0 \pm \varepsilon$ , где  $\varepsilon$  – погрешность
- Должна быть положительная производная функции  $T(x)$  при  $F_0 < 0$
- При отрицательном радиусе стержня  $R < 0$ , должны наблюдаться гармонические колебания.

#### 2. Получите простейший разностный аналог нелинейного краевого условия

при  $x = l$ ,  $-k(l) \frac{dT}{dx} = \alpha_N (T(l) - T_0) + \varphi(T)$ :

Разностная аппроксимация краевого условия:

$$\frac{Y_{N-1} - Y_N}{h} k_N = \alpha_N (y_N - T_0) + \varphi(y_N)$$

#### 3. Опишите алгоритм применения метода прогонки, если при $x = 0$ краевое условие линейное (как в настоящей работе), а при $x = l$ , как в п.2

Используя простейшую аппроксимацию первых производных одностронними разностями, получим:

$$\xi_1 = 1, \eta_1 = \frac{F_0 h}{k_0}$$

Далее, найдем прогоночные коэффициенты:

$$\xi_{n+1} = \frac{C_n}{B_n - A_n \xi_n}, \eta_{n+1} = \frac{F_n + A_n \eta_n}{B_n - A_n \xi_n}$$

Учитывая, что  $y_{n+1} = \xi_{n+1} y_n + \eta_{n+1}$ , найдем:

$$y_N = \frac{k_N \eta_N + h \alpha \beta - h \varphi(y_N)}{k_N (1 - \xi_N) + h \alpha}$$

4. Опишите алгоритм определения единственного значения сеточной функции  $y_p$  в одной заданной точке  $P$ . Использовать встречную прогонку, т.е. комбинацию правой и левой прогонок (лекция №8). Краевые условия линейные.

$\eta_1 = \frac{F_0}{B_0}; \quad \eta_N = \frac{A_N}{B_N}$   
 $\xi_1 = \frac{C_0}{B_0}; \quad \xi_N = \frac{F_N}{B_N}$

Прямой ход ( $1 \leq i \leq N-1$ ):

$$\xi_{i+1} = \frac{C_i}{B_i - A_i \xi_i};$$

$$\eta_{i+1} = \frac{F_i + A_i \eta_i}{B_i - A_i \xi_i}$$

Обратный ход ( $N-1 \geq i \geq 1$ ):

$$\hat{\xi}_i = \frac{A_i}{B_i - C_i \hat{\xi}_{i+1}}$$

$$\hat{\eta}_i = \frac{F_i + C_i \hat{\eta}_{i+1}}{B_i - C_i \hat{\xi}_{i+1}}$$

$$\left. \begin{aligned}
 y_{p-1} &= \sum_{\xi_p} y_p + \eta_p \\
 y_{p+1} &= \sum_{\xi_p} y_p + \hat{\eta} \\
 A_p y_{p-1} + B_p y_p + C_p y_{p+1} &= -P_p
 \end{aligned} \right\} \Rightarrow y_p = \frac{E_p + A_p \eta_p + C_p \hat{\eta}_{p+1}}{B_p - A_p \xi_p - C_p \hat{\xi}_{p+1}}$$